

ИССЛЕДОВАНИЕ КОЛЕБАНИЙ ГРУЗА, УДАРЯЮЩЕГОСЯ ОБ ОГРАНИЧИТЕЛЬ

П. М. Алабужев, В. И. Копытов

Ряд технических вопросов, связанных с вынужденными колебаниями систем (с одной или несколькими степенями свободы), сводятся при некоторых допущениях к задаче о колебании груза на пружине с ударом о жесткий ограничитель. В качестве примера можно привести колеблющуюся систему «корпус — боек» бурильного, отбойного и др. типов молотков.

В работах [3, 5, 7] рассмотрены задачи о колебаниях массы между двумя ограничителями — упругими и жесткими. Задача о колебании массы на пружине с одним жестким ограничителем рассмотрена в работе [6], однако, нам представляется, что данное ниже решение является более

наглядным и простым. Исследование указанного вопроса нами проведено с помощью вариационного метода акад. Б. Г. Галеркина [1, 2], применение которого позволило определить характер нелинейности рассматриваемой колебательной системы. Теоретическое решение было проверено экспериментально на установке, изготовленной в Томском политехническом институте (рис. 1, а).

Результаты расчета и эксперимента приведены в виде формул и графиков.

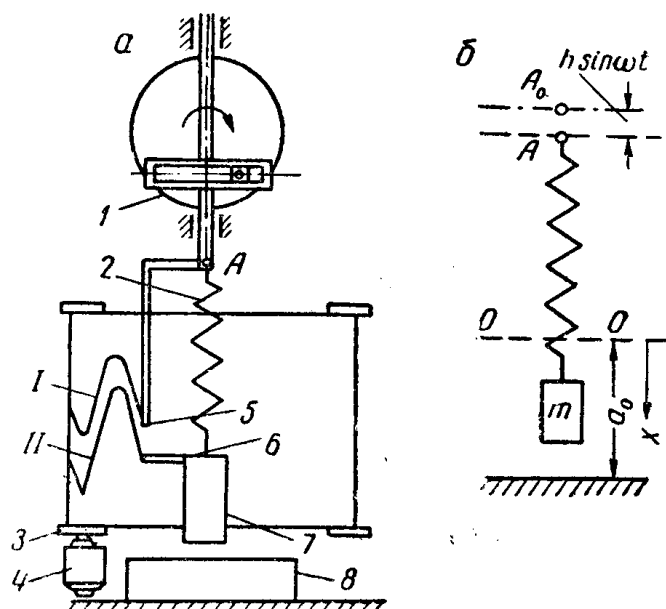


Рис. 1. Принципиальная схема установки:

1 — кулисный механизм; 2 — пружина; 3 — барабан, протягивающий бумагу; 4 — электродвигатель, врачающий барабан; 5—6 — карандаши для записи кривой I перемещения конца пружины и кривой II перемещения груза 7; 7 — груз массы m ; 8 — ограничитель колебаний.

Теоретическое решение задачи

Рассмотрим колебательную систему, изображенную на рис. 1. Требуется определить закон движения груза массы m , если конец A пружины совершает вертикальные гармонические колебания по закону

$$AA_0 = h \sin \omega t.$$

Рассмотрим задачу при следующих допущениях: затухания колебаний нет и удар груза об ограничитель не упругий. Будем искать такие периодические движения массы m , частота и фаза которых совпадают с частотой и фазой возмущения.

Дифференциальное уравнение движения рассматриваемой системы запишется в виде

$$m(\ddot{x} - h\omega^2 \sin \omega t) = mg - F(\lambda_{ct} + x),$$

или

$$\ddot{x} + F(\lambda_{ct} + x) = mg + m h \omega^2 \sin \omega t, \quad (1)$$

где x — перемещение груза относительно положения статического равновесия системы OO ;

mg — сила тяжести груза массы m ;

$F(\lambda_{ct} + x)$ — сила упругости пружины, являющейся линейной величиной в промежутке изменения x от $-\infty$ до $(a_0 - h)$, т. е. до ограничителя;

a_0 — расстояние от положения статического равновесия груза на пружине до ограничителя при среднем положении точки A ;

λ_{ct} — статическая деформация пружины, вызываемая грузом массы m ;

h — полуразмах свободного конца пружины.

В соответствии с методом акад. Галеркина частное решение уравнения (1) будем искать в виде ряда

$$x = x_0 + \sum_{i=0}^n a_{2i+1} \sin(2i+1)\omega t, \quad (2)$$

где x_0 — величина, не зависящая от времени t .

Найдем решение уравнения (1), ограничившись только первым членом ряда (2) (первое приближение),

$$x = x_0 + a \sin \omega t. \quad (3)$$

Подставим значение x в уравнение (1). Результат умножим на δx и проинтегрируем по t от 0 до $\frac{2\pi}{\omega}$, тогда получим

$$\int_0^{\frac{2\pi}{\omega}} [-m\omega^2(a+h) \sin \omega t + F(\lambda_{ct} + x_0 + a \sin \omega t) - mg] (\delta x_0 + \delta a \sin \omega t) dt = 0,$$

откуда в силу независимости вариаций δx_0 и δa_0 получаем систему двух уравнений для определения величин x_0 и a_0

$$\left. \begin{aligned} & \int_0^{\frac{2\pi}{\omega}} [F(\lambda_{ct} + x_0 + a \sin \omega t) - mg] dt = 0, \\ & \int_0^{\frac{2\pi}{\omega}} [-m\omega^2(a + h) \sin \omega t + F(\lambda_{ct} + x_0 + a \sin \omega t)] \sin \omega t dt = 0. \end{aligned} \right\} \quad (4)$$

Отсюда:

$$\left. \begin{aligned} mg &= \frac{\omega}{2\pi} \int_0^{\frac{2\pi}{\omega}} F(\lambda_{ct} + x_0 + a \sin \omega t) dt, \\ m\omega^2(a + h) &= \frac{\omega}{\pi} \int_0^{\frac{2\pi}{\omega}} F(\lambda_{ct} + x_0 + a \sin \omega t) \sin \omega t dt. \end{aligned} \right\} \quad (4a)$$

Для вычисления интегралов, стоящих в правых частях уравнений (4a), необходимо знать конкретное выражение силы упругости

$$F(t) = F(\lambda_{ct} + x_0 + a \sin \omega t).$$

Очевидно, что если при колебании масса m не достигает ограничителя ($x < a_0 - h$), то

$$F(\lambda_{ct} + x) = c(\lambda_{ct} + x),$$

или

$$F(\lambda_{ct} + x_0 + a \sin \omega t) = c(\lambda_{ct} + x_0 + a \sin \omega t), \quad (5)$$

где c — постоянная жесткость пружины.

Подставляя значение силы упругости (5) в выражения (4a), после вычислений получим:
из первого уравнения

$$mg = c(\lambda_{ct} + x_0), \quad (6)$$

откуда

$$x_0 = 0,$$

из второго уравнения

$$m\omega^2(a + h) = ca,$$

поделив на c , после преобразований будем иметь

$$\left(\frac{\omega}{\omega_0} \right)^2 \cdot (a + h) = a, \quad (7)$$

откуда

$$a = \frac{h \left(\frac{\omega}{\omega_0} \right)^2}{1 - \left(\frac{\omega}{\omega_0} \right)^2}, \quad (7a)$$

где $\omega = \sqrt{\frac{c}{m}}$ — собственная частота линейной системы «груз—пружина» жесткости c .

Уравнение (7a) выражает зависимость амплитуды a вынужденных колебаний от частоты колебаний свободного конца пружины при движении массы m относительно положения статического равновесия. Очевидно, что при $\omega_0 > \omega$ (колебания в дорезонансной области) амплитуда a по величине равна динамической деформации пружины. Максимальное перемещение массы m относительно какой-либо неподвижной точки в дальнейшем будем называть амплитудой вынужденных колебаний в абсолютных координатах и обозначать через A . Очевидно,

$$A = a + h = \frac{h \left(\frac{\omega}{\omega_0} \right)^2}{1 - \left(\frac{\omega}{\omega_0} \right)^2} + h. \quad (8)$$

При $\omega_0 < \omega$ (колебания за линейным резонансом) движения свободного конца пружины и массы m находятся в противофазе. Амплитуда вынужденных колебаний массы m в относительных координатах выражается формулой

$$a = \frac{h \left(\frac{\omega}{\omega_0} \right)^2}{\left(\frac{\omega}{\omega_0} \right)^2 - 1}. \quad (9)$$

Амплитуда вынужденных колебаний массы m в абсолютных координатах в этом случае равна

$$A = a - h = \frac{h \left(\frac{\omega}{\omega_0} \right)^2}{\left(\frac{\omega}{\omega_0} \right)^2 - 1} - h. \quad (10)$$

Если в процессе колебаний масса m ударяется об ограничитель, то интегралы в выражениях (4a) дают иное значение после вычислений. В этом случае выражение силы упругости запишется в виде

$$F(\lambda_{ct} + x) = \begin{cases} c(\lambda_{ct} + x) & \text{при } x < a_0 - h, \\ c(\lambda_{ct} + a_0 - h) & \text{при } x = a_0 - h. \end{cases}$$

Из условия соприкосновения массы m с ограничителем получаем зависимость

$$a_0 - h = x_0 + a, \quad (11)$$

откуда следует, что соприкосновение происходит при $t = \frac{\pi}{2\omega}$.

Таким образом, промежуток интегрирования по t разбивается на 4 части (движение массы от положения равновесия до ограничителя, соприкосновение, отход от ограничителя, движение в сторону сжатия пружины и обратно)

$$F(\lambda_{ct} + x_0 + a \sin \omega t) = \begin{cases} c(\lambda_{ct} + x_0 + a \sin \omega t) & \text{при } 0 \leq t \leq \frac{\pi}{2\omega} - \sigma, \\ c(\lambda_{ct} + a_0 - h) = \lim_{\sigma \rightarrow 0} \frac{\omega}{\pi} \int_{\frac{\pi}{2\omega} - \sigma}^{\frac{\pi}{2\omega}} \varphi\left(t - \frac{\pi}{2\omega} + \sigma\right) dt = \lim_{\sigma \rightarrow 0} \frac{\omega}{\pi} \int_0^\sigma \varphi(\tau) d\tau & \text{при } \frac{\pi}{2\omega} - \sigma \leq t \leq \frac{\pi}{2\omega}, \\ c(\lambda_{ct} + a_0 - h) = \lim_{\sigma \rightarrow 0} \frac{\omega}{\pi} \int_{\frac{\pi}{2\omega}}^{\frac{\pi}{2\omega} + \sigma} \varphi\left(\frac{\pi}{2\omega} + \sigma - t\right) dt = \lim_{\sigma \rightarrow 0} \frac{\omega}{\pi} \int_0^\sigma \varphi(\tau) d\tau & \text{при } \frac{\pi}{2\omega} \leq t \leq \frac{\pi}{2\omega} + \sigma, \\ c(\lambda_{ct} + x_0 + a \sin \omega t) & \text{при } \frac{\pi}{2\omega} + \sigma \leq t \leq \frac{2\pi}{\omega}. \end{cases} \quad (12)$$

Чтобы учесть влияние ограничителя на величины амплитуд вынужденных колебаний массы m , в выражении (12) значения функции $F(\lambda_{ct} + x_0 + a \sin \omega t)$ при $t = \frac{\pi}{2\omega}$ представлены в интегральной форме, как и предлагал в таких случаях поступать А. Н. Крылов [4, стр. 400]. Поэтому представляется возможным силу упругости при $t = \frac{\pi}{2\omega}$ записать в виде

$$F(\lambda_{ct} + a_0 - h) = \lim_{\sigma \rightarrow 0} \frac{\omega}{\pi} \int_0^\sigma \varphi(\tau) d\tau,$$

это означает, что рассматриваемая сила характеризуется некоторой функцией $\varphi(\tau)$ в малом промежутке времени в смежности с моментом соприкосновения (удара).

Подставляя выражение (12) в интеграл, стоящий справа в первом уравнении (4а), и, разбивая промежуток интегрирования на четыре части, получим

$$mg = \frac{\omega}{2\pi} \int_0^{\frac{\pi}{2\omega}-\sigma} c(\lambda_{ct} + x_0 + a \sin \omega t) dt \Big|_{\sigma=0} + \frac{1}{2} \lim_{\sigma \rightarrow 0} \frac{\omega}{\pi} \int_{\frac{\pi}{2\omega}}^{\frac{\pi}{2\omega}} \varphi \left(t - \frac{\pi}{2\omega} + \sigma \right) dt + \\ + \frac{1}{2} \lim_{\sigma \rightarrow 0} \frac{\omega}{\pi} \int_{\frac{\pi}{2\omega}}^{\frac{\pi}{2\omega}+\sigma} \varphi \left(\frac{\pi}{2\omega} + \sigma - t \right) dt + \frac{\omega}{2\pi} \int_{\frac{\pi}{2\omega}}^{\frac{\pi}{2\omega}+\sigma} c(\lambda_{ct} + x_0 + a \sin \omega t) dt \Big|_{\sigma=0},$$

откуда, сделав соответствующие вычисления, имеем

$$x_0 = -(\lambda_{ct} + a_0 - h). \quad (13)$$

Из второго уравнения (4а) будем иметь

$$m\omega^2(a + h) = \frac{\omega}{\pi} \int_0^{\frac{\pi}{2\omega}-\sigma} c(\lambda_{ct} + x_0 + a \sin \omega t) \sin \omega t dt \Big|_{\sigma=0} + \\ + \lim_{\sigma \rightarrow 0} \frac{\omega}{\pi} \int_{\frac{\pi}{2\omega}}^{\frac{\pi}{2\omega}} \varphi \left(t - \frac{\pi}{2\omega} + \sigma \right) \sin \omega t dt + \lim_{\sigma \rightarrow 0} \frac{\omega}{\pi} \int_{\frac{\pi}{2\omega}}^{\frac{\pi}{2\omega}+\sigma} \varphi \left(\frac{\pi}{2\omega} + \sigma - t \right) \sin \omega t dt + \\ + \frac{\omega}{\pi} \int_{\frac{\pi}{2\omega}}^{\frac{\pi}{2\omega}+\sigma} c(\lambda_{ct} + x_0 + a \sin \omega t) \sin \omega t dt \Big|_{\sigma=0},$$

откуда

$$m\omega^2(a + h) = ca + 2c(\lambda_{ct} + a_0 - h)$$

или, поделив на c , получим

$$\left(\frac{\omega}{\omega_0} \right)^2 (a + h) = a + 2(\lambda_{ct} + a_0 - h). \quad (14)$$

Некоторую особенность представляет вычисление интегралов

$$\lim_{\sigma \rightarrow 0} \frac{\omega}{\pi} \int_{\frac{\pi}{2\omega}}^{\frac{\pi}{2\omega}} \varphi \left(t - \frac{\pi}{2\omega} + \sigma \right) \sin \omega t dt \quad (a)$$

и

$$\lim_{\sigma \rightarrow 0} \frac{\omega}{\pi} \int_{\frac{\pi}{2\omega}}^{\frac{\pi}{2\omega}+\sigma} \varphi \left(\frac{\pi}{2\omega} + \sigma - t \right) \sin \omega t dt. \quad (b)$$

Для вычисления интеграла (а) сделаем замену переменного, полагая

$$t = \tau + \frac{\pi}{2\omega} - \sigma,$$

тогда выражение (а) запишется в несколько ином виде, а именно:

$$\lim_{\sigma \rightarrow 0} \frac{\omega}{\pi} \int_0^{\sigma} \varphi(\tau) \sin \omega t \left(\tau + \frac{\pi}{2\omega} - \sigma \right) d\tau.$$

Так как синус в малом промежутке $(0, \sigma)$ знака не меняет, то, используя теорему о среднем, получим

$$\lim_{\sigma \rightarrow 0} \sin \omega \left(\frac{\pi}{2\omega} - \Theta \sigma \right) \frac{\omega}{\pi} \int_0^{\sigma} \varphi(\tau) d\tau = c(\lambda_{ct} + a_0 - h). \quad (0 \leq \Theta \leq 1).$$

Аналогично вычисляется и второй интеграл (б), в котором необходимо сделать замену переменного по формуле

$$t = \frac{\pi}{2\omega} + \sigma - \tau,$$

в результате чего получаем

$$\lim_{\sigma \rightarrow 0} \sin \omega \left(\frac{\pi}{2\omega} + \Theta \sigma \right) \frac{\omega}{\pi} \int_0^{\sigma} \varphi(\tau) d\tau = c(\lambda_{ct} + a_0 - h).$$

Уравнение (14) с учетом (13) и (11) запишется в виде

$$\left(\frac{\omega}{\omega_0} \right)^2 (a + h) = a - 2x_0 = a + 2[a - (a_0 - h)] = 3a - 2(a_0 - h),$$

откуда

$$a = \frac{2(a_0 - h) + h \left(\frac{\omega}{\omega_0} \right)^2}{3 - \left(\frac{\omega}{\omega_0} \right)^2}. \quad (15)$$

Выражение (15) дает в первом приближении зависимость относительной амплитуды вынужденных колебаний массы m , ударяющейся об ограничитель, от частоты колебаний свободного конца пружины. Амплитуда вынужденных колебаний в абсолютных координатах будет

$$A = a + h \frac{2(a_0 - h) + h \left(\frac{\omega}{\omega_0} \right)^2}{3 - \left(\frac{\omega}{\omega_0} \right)^2} + h.$$

Задаваясь значениями параметров системы h , a_0 и ω_0 (т. е. c и m), строим график (рис. 2) зависимости амплитуды вынуж-

денных колебаний в абсолютных координатах от частоты возмущения ω (по оси абсцисс отложены значения $(\frac{\omega}{\omega_0})^2$, что, очевидно, изменяет масштаб кривых, но не изменяет их характера). График, приведенный на рис. 2, наглядно иллюстрирует картину развития колебаний массы m . С ростом ω или $(\frac{\omega}{\omega_0})^2$ абсолютные амплитуды вынужденных колебаний массы m , опре-

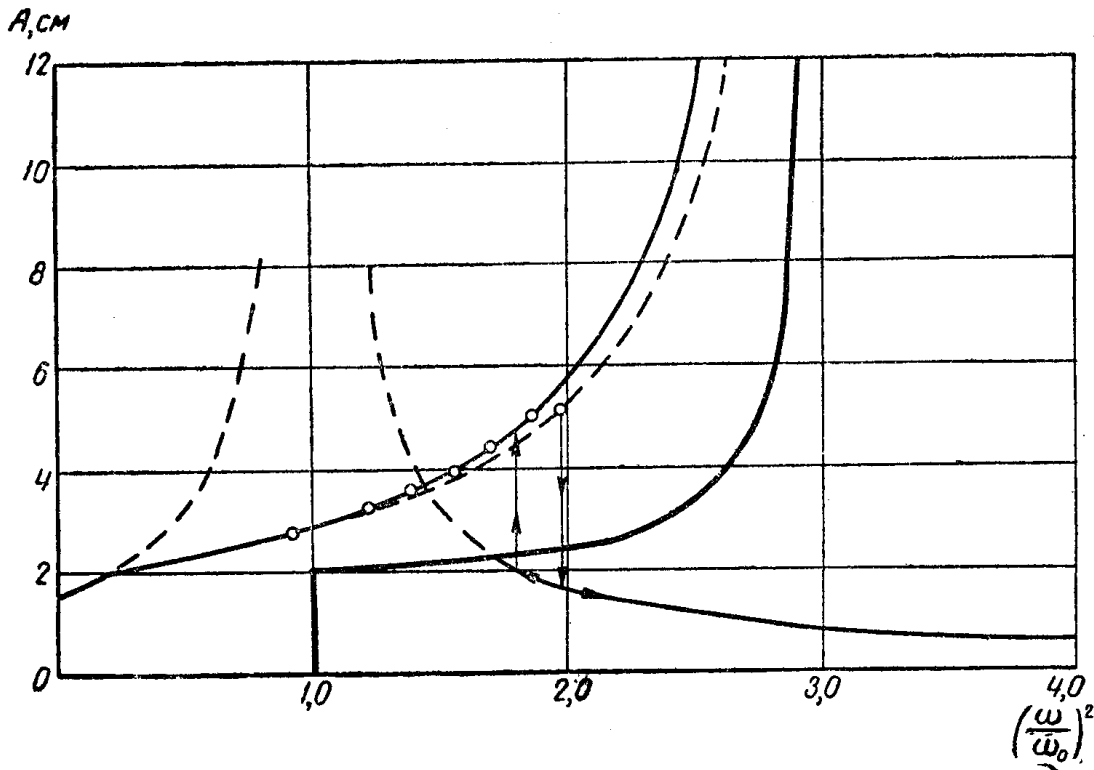


Рис. 2. Расчетные амплитудные кривые:
сплошная линия соответствует первому приближению, пунктирная линия — второму приближению. Значения амплитуд, найденных из опыта, нанесены в виде отдельных точек. Абсолютные значения постоянных величин: $\omega_0 = 16,7 \text{ 1/сек.}$, $a_0 = 2,0 \text{ см}$; $h = 1,6 \text{ см}$.

деляемые по формуле (16), растут до некоторого значения. После чего происходит срыв ударных колебаний, и масса m колеблется, не достигая ограничителя. В результате имеем линейный случай колебаний. Определение абсолютных амплитуд вынужденных колебаний массы m производим по формуле (10). В момент срыва происходит сдвиг вынужденных колебаний по фазе. Наоборот, при уменьшении частоты возмущающей силы от значения $(\frac{\omega}{\omega_0})^2 > 3$ абсолютные амплитуды вынужденных колебаний массы m , определенные по формуле (10), растут. При достижении амплитудой такой величины, когда масса m будет касаться ограничителя, произойдет резкий скачок величины амплитуды вверх и точка попадает на кривую, определяемую уравнением (16). Из условия соприкосновения с ограничителем

определим значение величины $\left(\frac{\omega}{\omega_0}\right)^2$, при котором происходит скачкообразное увеличение амплитуды вынужденных колебаний массы m ,

$$\frac{h \left(\frac{\omega}{\omega_0}\right)^2}{\left(\frac{\omega}{\omega_0}\right)^2 - 1} - h = a_0,$$

откуда

$$\left(\frac{\omega}{\omega_0}\right)^2 = 1 + \frac{h}{a_0}. \quad (17)$$

Отбрасывая в формуле (16) член, характеризующий возмущение, получим в первом приближении уравнение, которое связывает частоту свободных колебаний массы m с ударом об ограничитель в зависимости от амплитуды колебаний (резонансная кривая),

$$A = \frac{2(a_0 - h)}{3 - \left(\frac{\omega}{\omega_0}\right)^2} + h. \quad (18)$$

Таким образом, получили типичную для нелинейной задачи картину, когда одному значению параметра возмущения соответствуют два значения амплитуды вынужденных колебаний.

Отметим, что при проведении экспериментов наблюдалось следующее явление. При значениях h , близких по величине к a_0 , с ростом частоты возмущения после срыва колебаний наблюдались устойчивые ударные колебания массы m с частотой, равной $\frac{1}{2}\omega$ и $\frac{1}{3}\omega$. Иными словами, имели место субгармонические колебания. В данной работе вопрос об определении субгармоник не рассматривался.

На рис. 3 приведены амплитудные кривые при различных значениях a_0 и h , откуда видно, что если менять только величину зазора a_0 , а величину полуразмаха h конца пружины оставлять постоянной, то амплитудные кривые будут смещаться вверх или вниз (a_0 соответственно увеличивается или уменьшается). При этом точка A излома амплитудной кривой, соответствующая моменту соприкосновения массы m с ограничителем, будет смещаться по кривой, отображающей линейный случай при данной величине h . В этом случае также будут смещаться и резонансные кривые, причем точка перелома C будет перемещаться вдоль прямой $\left(\frac{\omega}{\omega_0}\right)^2 = 1$, соответствующей линейному резонансу.

При $a_0 = \text{const}$ и изменениях величины h амплитудные кривые смещаются либо вправо (h уменьшается), либо влево (h увеличивается).

Оценим достаточность первого приближения при решении подобного рода задач. Для этого найдем решение уравнения (1), взяв в ряде (2) два члена,

$$x = x_0 + a_1 \sin \omega t + a_3 \sin 3\omega t. \quad (19)$$

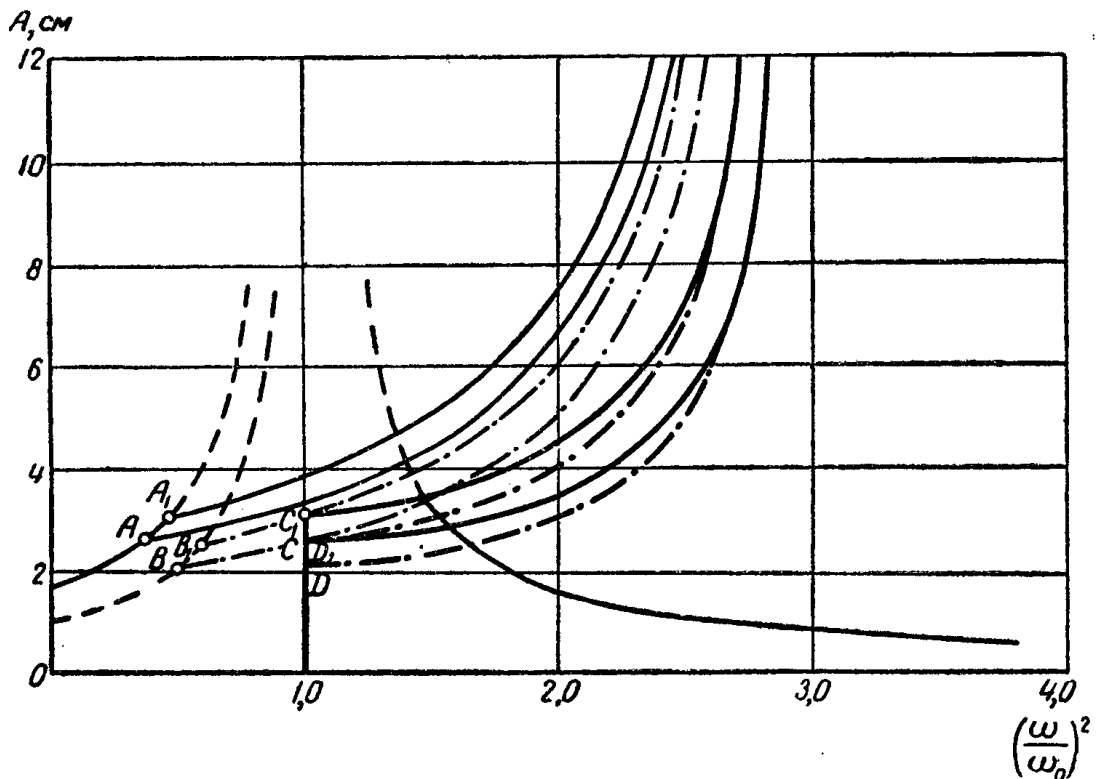


Рис. 3. Расчетные амплитудные кривые при различных значениях параметров системы a_0 и h .

Сплошные линии соответствуют значению $h = 1,6 \text{ см}$; $a_0 = 2,5 \text{ и } 3 \text{ см}$; штрихпунктирные линии соответствуют значению $h = 1 \text{ см}$, $a_0 = 2,0 \text{ и } 2,5 \text{ см}$. Жирные линии — резонансные кривые при соответствующих значениях параметров системы a_0 и h .

Сделав вычисления, аналогичные проведенным в первом приближении, получим для определения a_1 и a_3 следующую систему алгебраических уравнений:

$$\left. \begin{aligned} \left[\left(\frac{\omega}{\omega_0} \right)^2 - 1 \right] a_1 - 2(a_1 - a_3) + 2(a_0 - h) + h \left(\frac{\omega}{\omega_0} \right)^2 &= 0, \\ - \left[9 \left(\frac{\omega}{\omega_0} \right)^2 - 1 \right] a_3 - 2(a_1 - a_3) + 2(a_0 - h) &= 0. \end{aligned} \right\} \quad (20)$$

Из выражения (19) следует, что величина x имеет максимум при $t = \frac{\pi}{2\omega}$

$$x_{\max} = x_0 + a_1 - a_3. \quad (21)$$

Решая систему алгебраических уравнений (20) относительно a_1 и a_3 , получим:

$$\left. \begin{aligned} a_1 &= \frac{(21h - 18a_0) \left(\frac{\omega}{\omega_0}\right)^2 + 2(a_0 - h) - 9h \left(\frac{\omega}{\omega_0}\right)^4}{9 \left(\frac{\omega}{\omega_0}\right)^4 - \left(30 \frac{\omega}{\omega_0}\right)^2 + 5}, \\ a_3 &= \frac{\left(\frac{\omega}{\omega_0}\right)^2 - 1}{9 \left(\frac{\omega}{\omega_0}\right)^2 - 1} a_1 - \frac{h \left(\frac{\omega}{\omega_0}\right)^2}{9 \left(\frac{\omega}{\omega_0}\right)^2 - 1}. \end{aligned} \right\} \quad (22)$$

Величины a_1 и a_3 стремятся к бесконечности, когда знаменатель равен нулю, следовательно,

$$9 \left(\frac{\omega}{\omega_0}\right)^4 - 30 \left(\frac{\omega}{\omega_0}\right)^2 + 5 = 0,$$

откуда определяем два значения величины $\left(\frac{\omega}{\omega_0}\right)^2$:

$$\left(\frac{\omega}{\omega_0}\right)^2 = 3,16 \quad \text{и} \quad \left(\frac{\omega}{\omega_0}\right)^2 = 0,18.$$

Очевидно, второй корень следует отбросить, так как он не удовлетворяет требованиям поставленной задачи.

Таким образом, с учетом второго члена ряда (2) амплитуда вынужденных колебаний в абсолютных координатах будет несколько отличаться от соответствующей амплитуды, определенной в первом приближении (см. рис. 2). Поправка от второго члена ряда (2) на общее значение x_{\max} составляет величину не более 15% при значениях $\left(\frac{\omega}{\omega_0}\right)^2 < 2,8$. Как показывают эксперименты, в реальных системах вследствие наличия сил сопротивления, действие которых на колебательную систему возрастает с ростом амплитуды колебания, срыв устойчивых колебаний с ударом об ограничитель происходит при значениях $\left(\frac{\omega}{\omega_0}\right)^2 < 2,3$. Следовательно, в практических расчетах можно ограничиваться только первым приближением. Это значительно сокращает объем вычислительной работы.

Экспериментальные исследования

Для проверки правильности изложенного выше решения на- ми были проведены опыты на установке, изготовленной в Том- ском политехническом институте (рис. 1). Стальной груз мас- сы m , подвешенный на пружине (постоянной жесткости c), уда-

рялся об ограничитель (чтобы обеспечить условия, близкие к неупругому удару, ограничитель был выполнен из дерева — бука). Свободный конец A пружины был связан с рамкой кулисного механизма и вместе с ней совершил вертикальное колебательное движение по закону $AA_0 = h \sin \omega t$.

Методика эксперимента была принята следующая:

1) фиксировалось расстояние a_0 массы m от ограничителя при среднем положении точки A ;

2) изменялась угловая скорость ω вращения кривошипа кулисы, а следовательно, и частота колебаний свободного конца A пружины и груза массы m ;

3) в течение определенного промежутка времени (приблизительно 10 сек.) карандашами на бумагу, закрепленную на вращающемся барабане, одновременно записывались кривые перемещения массы m и свободного конца A пружины.

Угловая скорость кривошипа увеличилась до тех пор, пока не наступал срыв колебаний массы m с ударом об ограничитель (ударные колебания). После срыва ударных колебаний можем и дальше увеличивать частоту вынужденных колебаний. При этом масса m при $h < a_0$ будет «плавать» в зазоре, не касаясь ограничителя. При $h > a_0$, начиная с некоторой частоты ω , получим устойчивые субгармонические колебания с частотой, равной $\frac{1}{2} \omega$, $\frac{1}{3} \omega$ и т. д. (рис. 4).

Наоборот, в случае уменьшения частоты вынужденных колебаний, скачок амплитуды вынужденных колебаний массы m произойдет при частоте ω , меньшей значения ее при срыве колебаний, т. е. наблюдается явление «затягивания». Глубина «затягивания» определяется формулой (17), которая подтверждается экспериментально.

Имея число колебаний конца A пружины и зная время опыта, определяем частоту ω вынужденных колебаний. Величину амплитуды вынужденных колебаний массы m непосредственно снимаем с записи на бумаге.

Экспериментальные точки нанесены на теоретическую кривую (рис. 2), откуда следует, что решение задачи в первом приближении в пределах эксперимента дает вполне удовлетворительный результат.

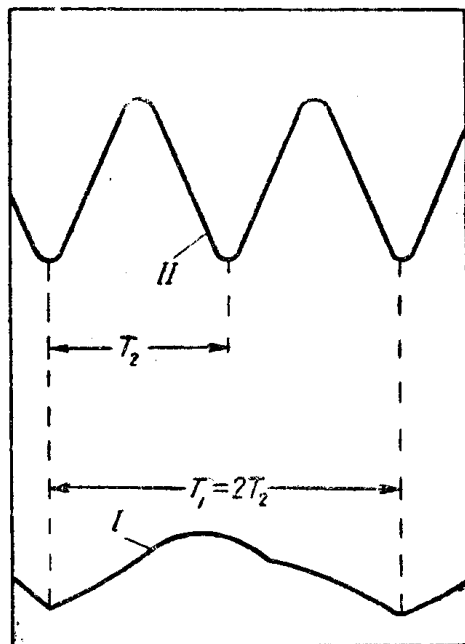


Рис. 4. Виброграмма субгармонических колебаний массы m с ударом об ограничитель:
I — кривая пути массы m (во времени); II — кривая пути свободного конца пружины (во времени). Период колебания T_1 массы m равен удвоенному периоду колебания T_2 свободного конца пружины A .

Наоборот, в случае уменьшения частоты вынужденных колебаний, скачок амплитуды вынужденных колебаний массы m произойдет при частоте ω , меньшей значения ее при срыве колебаний, т. е. наблюдается явление «затягивания». Глубина «затягивания» определяется формулой (17), которая подтверждается экспериментально.

Имея число колебаний конца A пружины и зная время опыта, определяем частоту ω вынужденных колебаний. Величину амплитуды вынужденных колебаний массы m непосредственно снимаем с записи на бумаге.

Экспериментальные точки нанесены на теоретическую кривую (рис. 2), откуда следует, что решение задачи в первом приближении в пределах эксперимента дает вполне удовлетворительный результат.

ВЫВОДЫ

В работе дается несколько иное, новое решение задачи о колебании массы на пружине с одним жестким ограничителем [6] с применением более общих методов, предложенных А. Н. Крыловым и Б. Г. Галеркиным.

Результаты, полученные теоретически и подтвержденные экспериментально, показывают, что введение ограничителя колебаний в систему «масса — пружина», делает последнюю нелинейной, причем система «масса — пружина — ограничитель» становится более «жесткой» (резонансные кривые наклоняются вправо).

Приведенные в работе формулы для амплитуды вынужденных колебаний массы m , как в относительном, так и абсолютном движении, могут быть использованы при расчете подобного рода систем, особенно, если системы работают в резонансном режиме. Наивыгоднейшей при этом является частота, определяемая формулой (17). Хотя амплитуда вынужденных колебаний и увеличивается с ростом частоты вынужденных колебаний, однако появляется большая опасность «срыва» ударных колебаний.

В работе рассмотрен только случай неупругого удара об ограничитель. Однако экспериментальному изучению был подвергнут также и случай упругого удара (ограничитель из стали, алюминия, свинца), причем в последнем случае экспериментальные кривые отходят от теоретической, будучи почти эквидистантны последней. С математической стороны задача о колебаниях с упругим ударом представляет значительные трудности и требует дополнительных условий и предположений. В этом случае необходимо знать время контакта и величину упругой деформации ограничителя. Колебательный процесс должен будет описываться за время цикла двумя уравнениями, соответствующими времени контакта массы с ограничителем и времени движения массы между ударами. В такой постановке задача должна рассматриваться только для данных конкретных условий.

Исследование решения дифференциального уравнения колебательного движения массы системы «упругая связь — масса — жесткий ограничитель» показывает, что применяя метод Б. Г. Галеркина к такого типа задачам, достаточно ограничиться только первым приближением.

ЛИТЕРАТУРА

1. В. В. Болотин. Динамическая устойчивость упругих систем, Гостехиздат, 1956.
2. А. Н. Динник. О методе Галеркина для определения критических сил и частот колебаний. Избранные труды, т. III, АН УССР, Киев, 1956.
3. Ю. И. Иориш. Защита самолетного оборудования от вибраций. Оборонгиз, 1949.

4. А. Н. Крылов. О некоторых дифференциальных уравнениях математической физики, имеющих приложение в технических вопросах. АН СССР, 1932.
 5. А. Лурье, А. И. Чекмарев. Вынужденные колебания в нелинейной системе с характеристикой, составленной из двух прямолинейных отрезков. Прикладная математика и механика, новая серия, т. I, в. 3, 1938.
 6. И. Г. Русаков и А. А. Харкевич. Вынужденные колебания системы, ударяющейся об ограничитель. ЖТФ, т. XII, в. 11—12, 1942.
 7. А. И. Чекмарев. Влияние постоянной силы на колебания в нелинейных системах. Инженерный сборник, т. IV, в. 2, 1948.
-

ЗАМЕЧЕННЫЕ ОПЕЧАТКИ

Страница	Строка	Напечатано	Должно быть	По вине
13	1 сн.	7-10	T-10	Korr.
14	13 сн.	R-754	RH-754	»
28	1 сн.	$A_y = \frac{mV^2}{2}$	$A_y = \frac{mV_y^2}{2}$	Avt.
34	18—20 сн.		2 — диаграмма колебаний корпуса молотка; 3 — диаграмма углового перемещения бура; 4 — диаграмма давления воздуха в задней полости цилиндра молотка; 5 — диаграмма давления в передней полости;	
35	1 сн.	Serving Stiense	Serving Science	Avt.
46	14 сн.	изменения	изменении	Ред.
90—91	Рис. 7 и 8	поменять местами, сохранив на месте подрисуночные подписи		Тип.
97	10 сн.	бурильного молотка	автоподатчика	»
107	2—3 сн.	остановки	остановкой	»
156	2 св.	поверхностей	поверхностной	Korr.
166	14 сн.	разбуренным	пробуренным	Avt.
179	9 св.	кинетическую	кинематическую	Korr.
189	5 св.	(59—200 мм)	(50—200 мм)	»
192	10 сн.	расширится	расширителя	Тип.
197	1 св.	кинетики	кинематики	Korr.
198	3—6 св.	Строчку пятую читать после второй строки		Тип.
199	14 сн.	кинетики	кинематики	Avt.
212	12 св.	Л. Б. Левенмон	Л. Б. Левенсон	Avt.
219	3 сн.	$A = a + h \dots + h.$	$A = a + h \dots + h. (16)$	Korr.
223	3 св.	$- \left(30 \frac{\omega}{\omega_0} \right)^2 + 5$	$- 30 \left(\frac{\omega}{\omega_0} \right)^2 + 5$	Тип.
224	19—20 св.	увеличилась	увеличивалась	Korr.
229	10 св.	АОФ4-2	АОФ42-2	Avt.
243	11 св.	1,15	1,5	Korr.